

УДК 539.374

## ОСОБЕННОСТИ РЕШЕНИЯ ЗАДАЧИ О СЖАТИИ ОРТОТРОПНОГО ПЛАСТИЧЕСКОГО МАТЕРИАЛА МЕЖДУ ВРАЩАЮЩИМИСЯ ПЛИТАМИ

С. Е. Александров

Институт проблем механики РАН им. А. Ю. Ишлинского, 119526 Москва

E-mail: sergeyaleksandrov@yahoo.com

В предположении, что главными осями анизотропии материала являются лучи, исходящие из угла клина, и ортогональные к ним линии, а на поверхности плит действует закон максимального трения, рассмотрено мгновенное течение при сжатии клинообразного слоя жесткопластического ортотропного материала между вращающимися плитами. Решение сведено к квадратурам, выполнен его асимптотический анализ. Установлено, что в общем случае решение является сингулярным вблизи поверхностей трения, и приведены условия, при которых сингулярность исчезает. Показано, что вблизи поверхности трения может возникать жесткая область. Проведено сравнение поведения полученного решения вблизи поверхностей трения с поведением известных решений для других моделей жесткопластических материалов.

**Ключевые слова:** сингулярность, трение, аналитическое решение, пластическая анизотропия.

Для ряда моделей жесткопластических материалов решения являются сингулярными вблизи поверхностей максимального трения (в частности, вблизи таких поверхностей некоторые производные от проекций вектора скорости и компонент тензора напряжения стремятся к бесконечности). В работе [1] выполнен общий асимптотический анализ такого поведения решений для произвольного течения идеального жесткопластического материала, удовлетворяющего произвольному гладкому условию текучести, не зависящему от среднего напряжения, в [2] — для осесимметричного течения материала, удовлетворяющего условию текучести Треска, в работе [3] — для плоского течения, в [4] — для осесимметричного течения материала, удовлетворяющего модели двойного сдвига (описание модели приведено в [5]). Во всех случаях установлено, что при проскальзывании эквивалентная скорость деформации (второй инвариант тензора скорости деформации) вблизи поверхности максимального трения стремится к бесконечности обратно пропорционально корню квадратному из расстояния до этой поверхности. Решения задач для различных моделей материала показывают, что данное свойство поля скорости зависит от модели материала [6–10]. Сингулярное поведение поля скорости позволяет предложить новые теории для описания изменения свойств материала в тонком слое вблизи поверхностей трения [11, 12].

В настоящей работе получено решение модельной задачи о мгновенном течении клинообразного слоя жесткопластического ортотропного материала, удовлетворяющего модели [13], между вращающимися плитами, на поверхности которых действует закон максимального трения. Решения данной задачи для различных моделей материала позволяют

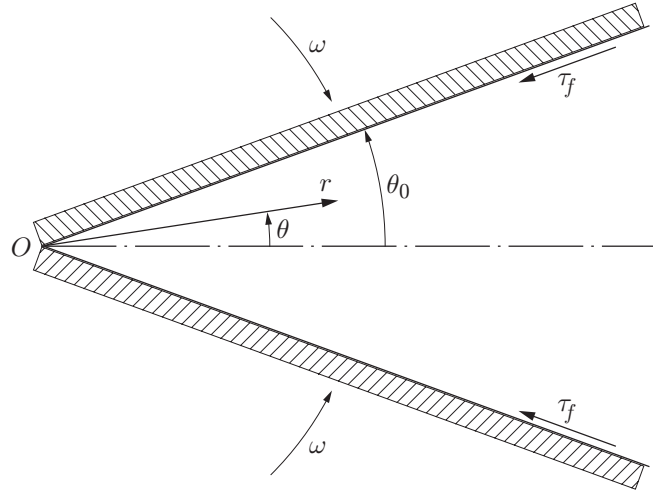


Рис. 1. Геометрия задачи

выявить ряд особенностей этих решений, в том числе их сингулярный характер [7, 8, 14]. Другие решения модельных задач в рамках теории анизотропной пластичности получены в работах [15, 16], где асимптотический анализ решений в окрестности поверхностей максимального трения не выполнялся.

Рассмотрим мгновенное плоское течение пластического ортотропного материала, сжимаемого между двумя плитами, вращающимися с угловой скоростью  $\omega$  относительно точки  $O$  (рис. 1). В предположении, что сток в точке  $O$  отсутствует, введем полярную систему координат  $(r, \theta)$  с началом в точке  $O$ . Поскольку полагается, что  $\theta = 0$  является осью симметрии, достаточно получить решение при  $\theta \geq 0$ . В случае если главные оси анизотропии совпадают с координатными линиями полярной системы координат, условие текучести, предложенное в [13], записывается в виде

$$\frac{(\sigma_{rr} - \sigma_{\theta\theta})^2}{4(1 - c)} + \sigma_{r\theta}^2 = T^2, \tag{1}$$

где  $\sigma_{rr}, \sigma_{\theta\theta}, \sigma_{r\theta}$  — компоненты тензора напряжения;  $T$  — предел текучести при чистом сдвиге в главных осях анизотропии;  $1 > c > -\infty$  — параметр, вычисляемый по значениям пределов текучести материала в главных осях анизотропии [13] (значение  $c = 0$  соответствует изотропному материалу). Закон течения, ассоциированный с условием текучести (1), имеет форму

$$\xi_{rr} = \frac{\lambda}{1 - c} (\sigma_{rr} - \sigma_{\theta\theta}), \quad \xi_{\theta\theta} = -\frac{\lambda}{1 - c} (\sigma_{rr} - \sigma_{\theta\theta}), \quad \xi_{r\theta} = 2\lambda\sigma_{r\theta}, \tag{2}$$

где  $\xi_{rr}, \xi_{\theta\theta}, \xi_{r\theta}$  — компоненты тензора скорости деформации;  $\lambda \geq 0$ . В рассматриваемом случае уравнения равновесия имеют вид

$$\frac{\partial\sigma_{rr}}{\partial r} + \frac{1}{r} \frac{\partial\sigma_{r\theta}}{\partial\theta} + \frac{\sigma_{rr} - \sigma_{\theta\theta}}{r} = 0, \quad \frac{\partial\sigma_{r\theta}}{\partial r} + \frac{1}{r} \frac{\partial\sigma_{\theta\theta}}{\partial\theta} + \frac{2\sigma_{r\theta}}{r} = 0, \tag{3}$$

краевые условия на оси симметрии принимают вид

$$\sigma_{r\theta}|_{\theta=0} = 0; \tag{4}$$

$$u_\theta|_{\theta=0} = 0 \tag{5}$$

( $u_\theta$  — окружная скорость). На поверхности плиты ( $\theta = \theta_0$ ) (см. рис. 1) заданы окружная скорость

$$u_\theta = -\omega r \tag{6}$$

и закон трения. Принимая закон максимального трения и учитывая направление удельных сил трения  $\tau_f$  (см. рис. 1), получаем условие

$$\sigma_{r\theta}|_{\theta=\theta_0} = -T, \quad (7)$$

которое справедливо при проскальзывании; при прилипании его необходимо заменить условием

$$u_r|_{\theta=\theta_0} = 0, \quad (8)$$

где  $u_r$  — радиальная скорость. Условие текучести (1) выполняется в результате подстановки

$$\sigma_{rr} = \sigma + T(1-c)^{1/2} \cos 2\psi, \quad \sigma_{\theta\theta} = \sigma - T(1-c)^{1/2} \cos 2\psi, \quad \sigma_{r\theta} = -T \sin 2\psi. \quad (9)$$

Как и для большинства пластических решений, полученных полуобратным методом, будем полагать, что функция  $\psi$  зависит только от одной пространственной координаты, в рассматриваемом случае — от координаты  $\theta$ . Тогда подстановка соотношений (9) в уравнения равновесия (3) дает

$$\begin{aligned} \frac{r}{T} \frac{\partial \sigma}{\partial r} - 2 \cos 2\psi \left( \frac{d\psi}{d\theta} - (1-c)^{1/2} \right) &= 0, \\ \frac{1}{T} \frac{\partial \sigma}{\partial \theta} + 2 \sin 2\psi \left( (1-c)^{1/2} \frac{d\psi}{d\theta} - 1 \right) &= 0. \end{aligned} \quad (10)$$

Из второго уравнения (10) следует, что  $\partial^2 \sigma / \partial r \partial \theta = 0$ . Тогда из первого уравнения (10) получаем

$$\frac{d\psi}{d\theta} = -\frac{A}{\cos 2\psi} + (1-c)^{1/2}, \quad \frac{\sigma}{T} = -A \ln \frac{r}{R} + \sigma_0(\psi). \quad (11)$$

Здесь постоянная  $R$  введена для удобства;  $\sigma_0(\psi)$  — произвольная функция  $\psi$ . Из соотношений (9), (7) и естественного предположения  $\sigma_{rr} > \sigma_{\theta\theta}$  следует, что  $0 \leq \psi \leq \pi/4$ , поэтому при  $\psi = \pi/4$  (или  $\theta = \theta_0$ ) должно выполняться неравенство  $d\psi/d\theta > 0$ . Тогда из (11) получаем

$$A \leq 0. \quad (12)$$

Решение первого уравнения системы (11) можно записать в элементарных функциях, однако удобнее представить его в виде

$$\theta = \int_0^\psi \frac{\cos 2\chi}{(1-c)^{1/2} \cos 2\chi - A} d\psi. \quad (13)$$

Решение (13) с учетом (9) удовлетворяет краевому условию (4).

В случае проскальзывания из выражений (7), (9) следует, что при  $\theta = \theta_0$   $\psi = \pi/4$ , а величина  $A$  определяется из (13):

$$\theta_0 = \int_0^{\pi/4} \frac{\cos 2\chi}{(1-c)^{1/2} \cos 2\chi - A} d\psi. \quad (14)$$

Учитывая неравенство (12) и полагая  $A = 0$ , из (14) находим максимальное значение  $\theta_0$ , при котором имеет место решение в случае прилипания:

$$\theta_{\max} = (1-c)^{-1/2} \pi/4. \quad (15)$$

Подставляя величину  $\sigma$  из второго уравнения (11) во второе уравнение (10) и исключая  $d\psi/d\theta$  с помощью первого уравнения (11), получаем

$$\frac{d\sigma_0}{d\psi} = 2 \sin 2\psi \left( \frac{c \cos 2\psi + A(1-c)^{1/2}}{(1-c)^{1/2} \cos 2\psi - A} \right). \quad (16)$$

Решение уравнения (16) также можно записать в элементарных функциях, однако для удобства представим его в виде

$$\sigma_0 = 2 \int_0^\psi \sin 2\chi \left( \frac{c \cos 2\chi + A(1-c)^{1/2}}{(1-c)^{1/2} \cos 2\chi - A} \right) d\chi + A_0,$$

где  $A_0$  — произвольная постоянная, значение которой нельзя определить из краевых условий вследствие пластической несжимаемости материала и неограниченности слоя.

С учетом (9) уравнения (2) запишем в форме

$$\begin{aligned} \frac{\partial u_r}{\partial r} + \frac{\partial u_\theta}{r \partial \theta} + \frac{u_r}{r} &= 0, \\ \left( \frac{\partial u_r}{\partial r} - \frac{\partial u_\theta}{r \partial \theta} - \frac{u_r}{r} \right) (1-c)^{1/2} \operatorname{tg} 2\psi &= -\frac{\partial u_\theta}{\partial r} + \frac{u_\theta}{r} - \frac{\partial u_r}{r \partial \theta}. \end{aligned} \quad (17)$$

Поле скорости примем в виде

$$u_r = \frac{\omega r}{2} \frac{dg(\psi)}{d\theta}, \quad u_\theta = -\omega r g(\psi), \quad (18)$$

где  $g(\psi)$  — произвольная функция  $\psi$  (первое уравнение системы (17) удовлетворяется при любом выборе этой функции). Краевое условие (5) преобразуем к виду

$$g|_{\psi=0} = 0, \quad (19)$$

а краевое условие (6) в случае проскальзывания на поверхности трения представим в виде

$$g|_{\psi=\pi/4} = 1. \quad (20)$$

Подставляя (18) во второе уравнение системы (17), полагая  $G = dg/d\theta$  и переходя к дифференцированию по  $\psi$  с помощью (11), получаем

$$\frac{dG}{d\psi} = \frac{2(1-c)^{1/2} G \sin 2\psi}{A - (1-c)^{1/2} \cos 2\psi}. \quad (21)$$

Интегрируя уравнение (21), находим  $G = G_0[(1-c)^{1/2} \cos 2\psi - A]$  ( $G_0 = \text{const}$ ). Используя полученное решение, определение для функции  $G$  и соотношения (11), получаем уравнение  $dg/d\psi = G_0 \cos 2\psi$ , интегрирование которого с учетом краевого условия (19) дает

$$g = (1/2)G_0 \sin 2\psi. \quad (22)$$

Учитывая краевое условие (20), находим  $G_0 = 2$ . Тогда из (22) получаем  $g = \sin 2\psi$ , а из (18), (11) — поле скорости в форме

$$u_r = \omega r [(1-c)^{1/2} \cos 2\psi - A], \quad u_\theta = -\omega r \sin 2\psi. \quad (23)$$

Эквивалентную скорость деформации  $\xi_{eq} = \sqrt{2/3} (\xi_{rr}^2 + \xi_{\theta\theta}^2 + 2\xi_{r\theta}^2)^{1/2}$  определим из выражений (11), (23):

$$\xi_{eq} = (2/\sqrt{3})\omega [(1-c)^{1/2} \cos 2\psi - A][1 + (1-c) \operatorname{tg}^2 2\psi]^{1/2}.$$

Вблизи поверхности трения эквивалентная скорость деформации принимает вид

$$\xi_{eq} = -A(1-c)^{1/2}\omega/[\sqrt{3}(\pi/4-\psi)] + o[(\pi/4-\psi)^{-1}], \quad \psi \rightarrow \pi/4, \quad (24)$$

а решение первого уравнения (11) — форму

$$\theta_0 - \theta = -A^{-1}(\pi/4 - \psi)^2 + o[(\pi/4 - \psi)^2], \quad \psi \rightarrow \pi/4. \quad (25)$$

Из соотношений (24), (25) следует

$$\xi_{eq} = \sqrt{-A}(1-c)^{1/2}\omega/[\sqrt{3}(\theta_0 - \theta)^{1/2}] + o[(\theta_0 - \theta)^{-1/2}], \quad \theta \rightarrow \theta_0. \quad (26)$$

Такое асимптотическое представление эквивалентной скорости деформации совпадает с соответствующим представлением, имеющим место в некоторых теориях жесткопластического тела [см., например, 1–4, 9, 10]. В частности, из (26) можно определить введенный в работе [1] коэффициент интенсивности скорости деформации

$$D = \omega[-A(1-c)r/3]^{1/2}. \quad (27)$$

Из соотношений (26) следует, что при  $\theta_0 = \theta_{\max}$  (величина  $\theta_{\max}$  определена в (15) при  $A = 0$ ) сингулярность в поле скоростей исчезает. В частности, согласно выражению (27) коэффициент интенсивности скорости деформации обращается в нуль. Кроме того, из выражения для радиальной скорости (23) следует, что в этом случае выполняется условие прилипания (8).

Таким образом, поведение решения поставленной краевой задачи зависит от величины  $\theta_0$ . В частности, в соответствии с выражениями (26) при  $\theta_0 < \theta_{\max}$  вблизи поверхности максимального трения эквивалентная скорость деформации стремится к бесконечности и выполняется условие проскальзывания. При  $\theta_0 = \theta_{\max}$  сингулярность исчезает, материал находится в пластическом состоянии и выполняется условие прилипания. При  $\theta_0 > \theta_{\max}$

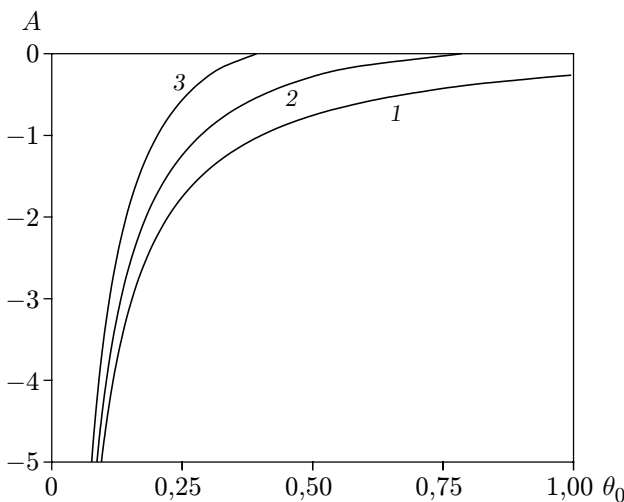


Рис. 2

Рис. 2. Зависимость величины  $A$  от угла раствора плит  $\theta_0$  при различных значениях параметра  $c$ :

1 —  $c = 0,9$ , 2 —  $c = 0$  (изотропный материал), 3 —  $c = -3$

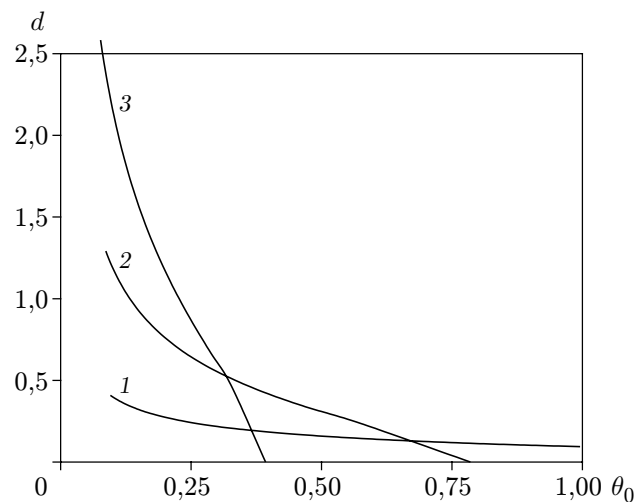


Рис. 3

Рис. 3. Зависимость безразмерного коэффициента интенсивности скорости деформации  $d$  от угла раствора плит  $\theta_0$  при различных значениях параметра  $c$  (обозначения те же, что на рис. 2)

выполняется условие прилипания, область  $\theta_0 > \theta > \theta_{\max}$  является жесткой, а в области  $\theta_{\max} > \theta > 0$  имеет место такое же решение, как в случае  $\theta_0 = \theta_{\max}$ .

На рис. 2 показана определенная из (14) зависимость  $A(\theta_0)$  при различных значениях параметра  $c$ , характеризующего пластическую анизотропию. На рис. 3 представлена зависимость безразмерного коэффициента интенсивности скорости деформации  $d = D/(\omega r^{1/2})$  от  $\theta_0$ , вычисленная по формуле (27), при различных значениях параметра  $c$ . На рис. 3 видно, что пластическая анизотропия оказывает существенное влияние на величину коэффициента интенсивности скорости деформации. Это необходимо учитывать при проведении расчетов с использованием теорий [11, 12].

Таким образом, показано, что в общем случае вблизи поверхностей трения решение является сингулярным, и приведены условия, при которых сингулярность исчезает.

## ЛИТЕРАТУРА

1. **Alexandrov S., Richmond O.** Singular plastic flow fields near surfaces of maximum friction stress // Intern. J. Non-Linear Mech. 2001. V. 36, N 1. P. 1–11.
2. **Александров С. Е., Ричмонд О.** Асимптотическое поведение поля скорости при осесимметричном течении материала, подчиняющегося условию Треска // Докл. РАН. 1998. Т. 360, № 4. С. 480–482.
3. **Александров С. Е., Лямина Е. А.** Сингулярные решения при плоском пластическом течении материалов, чувствительных к среднему напряжению // Докл. РАН. 2002. Т. 383, № 4. С. 492–495.
4. **Александров С. Е.** Сингулярные решения в осесимметричных течениях среды, подчиняющейся модели двойного сдвига // ПМТФ. 2005. Т. 46, № 5. С. 180–186.
5. **Spencer A. J. M.** Deformation of ideal granular materials // Mechanics of solids: The Rodney Hill 60th anniversary volume / Ed. by H. G. Hopkins, M. J. Sewell. Oxford: Pergamon Press, 1982. P. 607–652.
6. **Alexandrov S.** Comparison of double-shearing and coaxial models of pressure-dependent plastic flow at frictional boundaries // Trans. ASME. J. Appl. Mech. 2003. V. 70, N 2. P. 212–219.
7. **Александров С. Е.** Сингулярные решения в одной модели пластичности с условием текучести, зависящим от среднего напряжения // Проблемы механики: Сб. ст. к 90-летию со дня рожд. А. Ю. Ишлинского / Под ред. Д. М. Климова. М.: Физматлит, 2003. С. 77–86.
8. **Александров С. Е., Лямина Е. А.** Качественные различия в решениях при использовании теорий пластичности с условием текучести Кулона — Мора // ПМТФ. 2005. Т. 46, № 6. С. 136–145.
9. **Alexandrov S., Harris D.** Comparison of solution behaviour for three models of pressure-dependent plasticity: a simple analytical example // Intern. J. Mech. Sci. 2006. V. 48, N 7. P. 750–762.
10. **Alexandrov S., Mishuris G.** Viscoplasticity with a saturation stress: distinguished features of the model // Arch. Appl. Mech. 2007. V. 77, N 1. P. 35–47.
11. **Lyamina E., Alexandrov S., Grabco D., Shikimaka O.** An approach to prediction of evolution of material properties in the vicinity of frictional interfaces in metal forming // Key Engng Mater. 2007. V. 345/346. P. 741–744.
12. **Александров С. Е., Лямина Е. А.** Нелокальный критерий разрушения вблизи поверхностей трения и его приложение к анализу процесса вытяжки и выдавливания // Пробл. машиностроения и надежности машин. 2007. № 3. С. 62–68.
13. **Хилл Р.** Математическая теория пластичности. М.: Гостехтеоретиздат, 1956.

14. **Александров С. Е., Лямина Е. А.** Сжатие пластического материала, чувствительного к среднему напряжению, вращающимися плитами // Изв. РАН. Механика твердого тела. 2003. № 6. С. 50–60.
15. **Collins I. F., Meguid S. A.** On the influence of hardening and anisotropy on the plane-strain compression of thin metal strip // Trans. ASME. J. Appl. Mech. 1977. V. 44, N 2. P. 271–278.
16. **Кийко И. А.** Анизотропия в процессах течения тонкого пластического слоя // Прикл. математика и механика. 2006. Т. 70, вып. 2. С. 344–351.

*Поступила в редакцию 14/X 2008 г.*

---